# 液相色谱 - 串联质谱法测定猪可食性组织中 脱氧雪腐镰刀菌烯醇残留量的方法研究

李维铖, 沈祥广, 刘 戎, 张嘉慧, 余静贤, 谢玉萍, 邓衔柏 (华南农业大学 兽医学院,广东 广州 510642)

摘要:针对猪可食性组织中脱氧雪腐镰刀菌烯醇(DON)的残留,建立了一种液相 - 电喷雾质谱检测法. 样品用纯水 提取、C<sub>Is</sub>柱净化、体积分数为 30% 的甲醇洗脱后进行 LC-MS/MS 分析. 色谱柱采用 Phenomenex Luna 5 μC<sub>Is</sub>(2),流 动相采用体积比为3:7的甲醇-体积分数为0.1%甲酸水溶液.质谱采用电喷雾离子源,正离子多重反应监测模式 进行定量和定性分析. 方法的最低检测限为 25 μg·kg<sup>-1</sup>,最低定量限为 50 μg·kg<sup>-1</sup>;在 50 、100 、500 μg·kg<sup>-1</sup> 3 个 水平的回收率为80.2%~99.4%,相对标准偏差为2.47%~9.47%.

关键词:脱氧雪腐镰刀菌烯醇;猪可食性组织;固相萃取;电喷雾串联质谱

中图分类号: S859.84

文献标志码:A

文章编号:1001-411X(2013)01-0101-05

## Study on the Determination of Dexynivalenol in Edible Tissues of Swine by Liquid Chromatography Coupled with **Electrospray Ionization Tandem Mass Spectrometry**

LI Weicheng, SHEN Xiangguang, LIU Rong, ZHANG Jiahui, YU Jingxian, XIE Yuping, DENG Xianbo (College of Veterinary Medicine, South China Agricultural University, Guangzhou 510642, China)

Abstract: A method has been developed for the determination of dexynivalenol in edible tissues of swine by liquid chromatography coupled with electrospray ionization tandem mass spectrometry (LC-MS/MS). The samples were extracted by pure water and purified by C<sub>18</sub> solid phase extraction, and then analyzed by the LC-MS/MS after redissolved by 30% methanol. The chromatographic column was Phenomenex Luna 5  $\mu$  C<sub>18</sub>(2), and the flowing phase was comprised with methanol -0.1% formic acid solution (V/V =3:7). The mass spectrometry was run with electrospray ion source and in positive ions multiple reaction monitoring mode for the quantitative and qualitative analyses. Limit of detection (LOD) was 25 μg·kg<sup>-1</sup>, and limit of quantitation (LOQ) was 50 μg·kg<sup>-1</sup>. The recoveries of dexynivalenol in edible tissues of swine ranged from 80.2% to 99.4% in 50, 100 and 500 µg · kg<sup>-1</sup> concentration levels. The relative standard deviation ranged from 2.47% to 9.47%.

Key words: dexynivalenol; edible tissues of swine; solid phase extraction; electrospray ionization tandem mass spectrometry

脱氧雪腐镰刀菌烯醇(DON)是镰刀菌产生的一 对分子质量为 296.3,为无色针状晶体. 它的化学性 质稳定,一般的加热和蒸煮均不易使其分解[1-2]. 种真菌毒素,又称呕吐毒素.分子式为 $C_{15}H_{20}O_{6}$ ,相

收稿日期:2012-09-15 网络出版时间:2013-01-11

网络出版地址:http://www.cnki.net/kcms/detail/44.1110.S.20130111.0925.002.html

作者简介:李维铖(1987—),男,硕士研究生;通信作者:邓衔柏(1963—),男,副教授,E-mail: xbdeng@ scau. edu. cn

基金项目:国家重点基础研究发展计划项目(2009CB118805);省部产学研结合项目(2011B090400228)

DON 具有广泛的毒性,人和家畜在误食被毒素污染的粮谷类食物后可产生广泛的毒性效应,引起动物呕吐、拒食、体质量减轻,免疫功能和造血功能受到损害,还具有很强的皮肤毒性和细胞毒性,因此危害很大<sup>[3-5]</sup>.为防止真菌毒素对人类健康的威胁,很多地区和国家都制订了相应的标准来控制粮食及其制品中 DON 的含量,联合国粮农组织规定食用粮食中DON 的质量比必须≤1 000 μg·kg<sup>-1</sup>,我国国家标准GB2761—2011 中规定在食用小麦及玉米中 DON 的限量为 1 000 μg·kg<sup>-1</sup>.

针对 DON 的检测分析方法主要有薄层色谱法、气相色谱法、高效液相色谱法、酶联免疫吸附测定法、液相色谱/大气压化学电离质谱(APCI)<sup>[6-10]</sup>. 这些方法主要应用于粮食和饲料方面的检测,有关在猪肉等可食性动物组织中检测毒素残留的报道较少,猪源动物性食品是我国民众的主要肉食来源,随着人们对食品安全问题的重视程度不断提高<sup>[11]</sup>,当务之急是建立一种灵敏度高、操作简单、准确有效的方法,来检测动物组织中呕吐毒素的残留量,以便对猪源食品的品质进行有效监控.

## 1 材料与方法

#### 1.1 仪器与试剂

Agilent 6430 型串联三重四极杆质谱(美国 Agilent 公司),配 Agilent 1 200 型液相色谱仪, $C_{18}$ 固相萃取柱(200 mg - 2 mL, Agilent 公司),Milli-Q 去离子水发生器(美国 Milli-Q 公司),内切式均质机及涡旋混合器(均为德国 IKA 公司),高速台式冷冻离心机(美国 Thermo 公司),pH 计(上海雷磁精密仪器厂),轨道式摇床(德国 IKA 公司). 乙腈、甲醇(均为色谱纯,Fisher 公司),磷酸二氢钠(分析纯,广州试剂厂),脱氧雪腐镰刀菌烯醇标准品(CAS 51481 - 10 - 8,Sigma公司),质量分数 $\geq$ 99%.

#### 1.2 试液的配制

DON 标准储备液及工作液: 称取脱氧雪腐镰刀菌烯醇标准品 5 mg 置 5 mL 容量瓶中,用甲醇溶解并定容至刻度,准确浓度根据标准品的含量和称取量计算,制得的储备液置 -20 ℃密闭保存. 使用时用流动相稀释成适宜浓度的工作溶液,现配现用.

流动相:甲醇与体积分数为 0.1% 甲酸水溶液按体积比 3:7 混匀.

#### 1.3 样品前处理

1.3.1 提取 将猪肌肉、脂肪、肝脏、肾脏切碎,准确称取 2.00 g,置于 50 mL 离心管中,精密加入纯水 10 mL,匀质 1 min,另备 1 支装有 10 mL 纯水的离心

管洗刀头. 振荡 30 min, 10 000 r·min <sup>-1</sup>离心 10 min, 上清液倒入另一离心管,用洗刀头的 10 mL 纯水,重 复按上述步骤提取 1 次,合并上清液.

1.3.2 净化  $C_{18}$ 柱先用 3 mL 甲醇和 5 mL 水活化,取 5 mL 上清液过柱,液面到柱床时,2 mL 水淋洗,挤干柱子,弃去过柱液,用体积分数为 30% 的甲醇 1 mL 洗脱,收集洗脱液,进行 LC-MS/MS 分析.

#### 1.4 标准曲线的制作

将储备液用流动相稀释成质量浓度分别为 10、25、50、100、250、500 ng ·  $mL^{-1}$ 的 DON 标准溶液,上机检测. 以标准液质量浓度 (x) 为自变量,DON  $(297.2\rightarrow 249.1)$  峰面积 (y) 为因变量,作线性回归,绘制标准曲线并求出其回归方程和相关系数.

## 1.5 检测限(LOD)和定量限(LOQ)的测定

称取 2.00 g 空白匀浆组织,依次加入 100  $\mu$ L 不同质量浓度(0.2、0.5、1.0、2.0  $\mu$ g·mL<sup>-1</sup>)的标准工作液,漩涡混匀,使样品中 DON 的质量比分别为 0.010、0.025、0.050、0.100  $\mu$ g·g<sup>-1</sup>,按"1.3"方法处理后上机检测,定量和定性分析时,以信噪比(S/N)为 3 时的 DON 添加质量比作为检测限,以信噪比(S/N)为 10 时的 DON 添加质量比为定量限.

#### 1.6 回收率和精密度试验

采用在空白样品中加标的方法进行回收率和精密度的测定.将不同质量浓度(1.0、2.0、10.0μg·mL<sup>-1</sup>)的标准工作液 100μL加入到 2.00 g 匀浆好的猪空白组织中,涡旋混匀,使样品的添加质量比分别为 50、100、500 ng·g<sup>-1</sup>,按"1.3"方法处理,进行上机检测.当日内每个质量浓度平行操作 5次,连续做 3 d,计算变异系数.

#### 1.7 液相色谱与质谱条件

色谱柱: Phenomenex Luna 5  $\mu$ C<sub>18</sub> (2) 100 A 150 mm×2.00 mm;柱温: 25 °C;流动相:  $V(\mathbb{P})$ :  $V(\mathbb{K})$  为 3:7的溶液,流速: 0.25 mL·min<sup>-1</sup>;进样量: 5.0  $\mu$ L.

离子源:电喷雾离子源(ESI);扫描模式:正离子扫描(Positive);检测方式:多反应监测(MRM);干燥气:  $N_2$ ;干燥气温度:350 °C;雾化气压力:206.85 kPa;干燥气流速:9 L·min  $^{-1}$ ;正模式毛细管电压:3 500 V.

## 2 结果与分析

#### 2.1 DON 的质谱检测

将 DON 标准溶液用流动相稀释成 10 μg·mL<sup>-1</sup> 的工作溶液,不接色谱柱(直通连接),采用单级质谱 (MS2, Positive 模式)扫描,得到 DON 的主要母离子

质荷比为 297. 2,属加 H<sup>+</sup>模式;利用仪器的自动优化 功能(Optimizer 模式),对 DON 的质谱条件进行优化 测试,得到 4 个二级质谱子离子,分别为 249. 1、203. 1、231. 1 和 280. 9,其中 249. 1 和 203. 1 的信号较强,如图 1.

#### 2.2 DON 的色谱行为

在试验选定的液相色谱 - 质谱条件下,测得DON的保留时间为 4.02 min,空白组织样品在上述保留时间无干扰峰出现.DON标准品、空白组织以及DON在空白组织中 MRM 色谱图如图 2 所示.

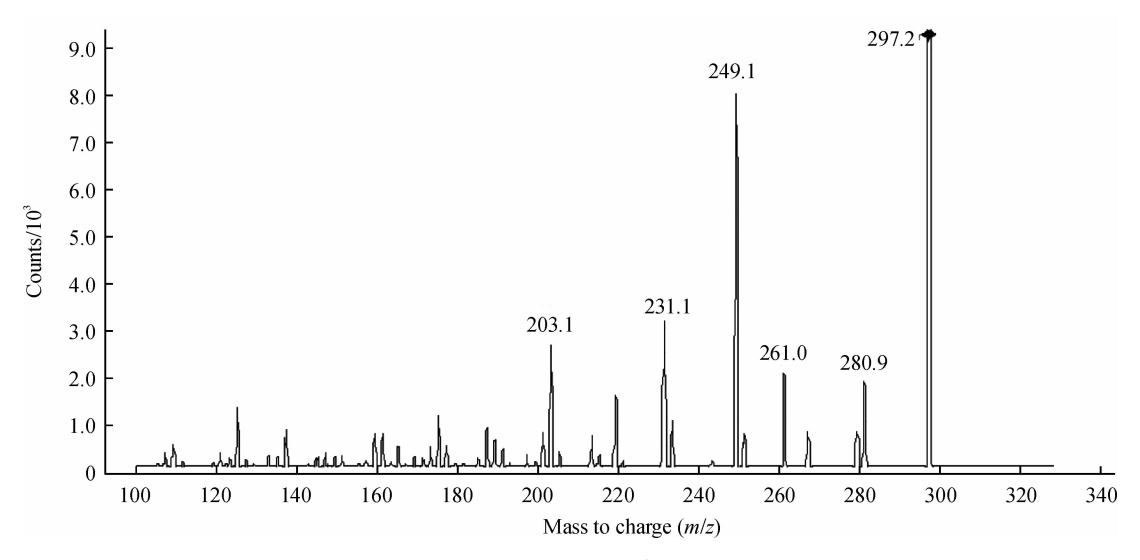


图 1 DON 的二级质谱扫描图

Fig. 1 Mass/mass scanning spectrum of DON

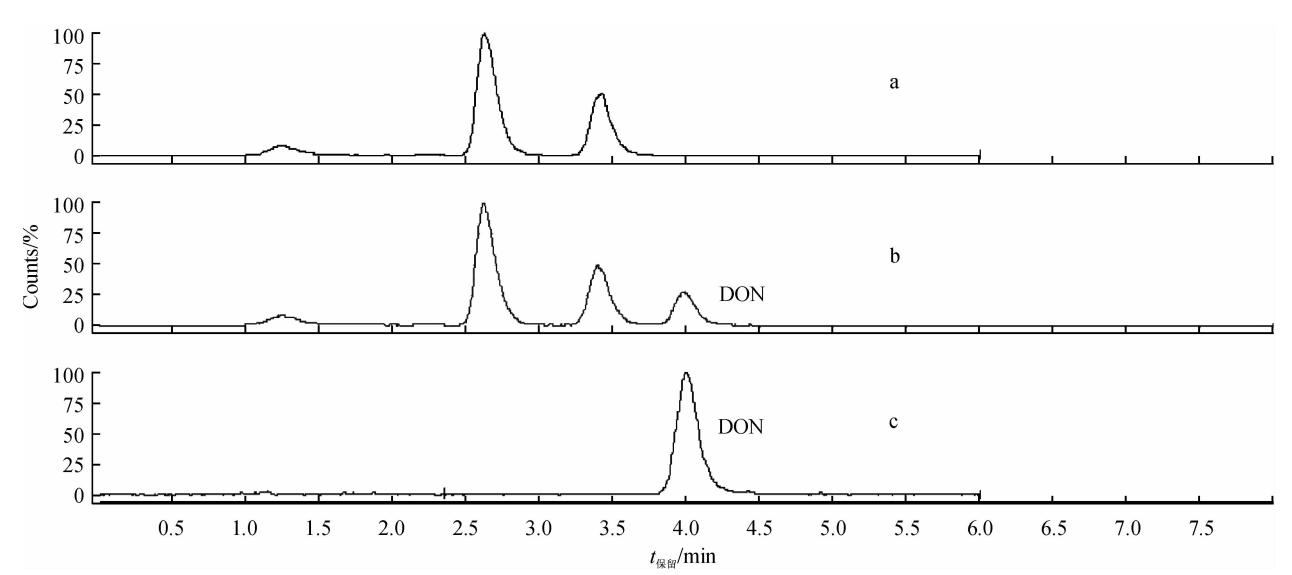


图 2 空白组织样品(a)、空白添加样品(b)、DON 标准溶液(c)的总离子图

Fig. 2 The total ion chromatography of blank tissue(a), spiked with 0.1  $\mu g \cdot g^{-1}$  of DON(b) and standard solution of DON(c)

#### 2.3 标准曲线绘制

量取适量的工作液,用流动相稀释成质量浓度为10、25、50、100、250、500 ng·mL<sup>-1</sup>,每一质量浓度测5次,按所得峰面积平均值(y)对相应质量浓度(x)做标准曲线,得回归方程为:y = 4.914 3 x - 9.916 0, $r^2$  = 0.999 7.

### 2.4 检测限与定量限

按峰高法以3倍信噪比(S/N)作为最低检测限, 10倍信噪比作为最低定量限进行计算,结果得出此 方法的最低检测限为 25  $\mu g \cdot k g^{-1}$ , 最低定量限为 50  $\mu g \cdot k g^{-1}$ .

## 2.5 回收率与精密度

分别以 50、100、500 ng · g  $^{-1}$  3 个添加水平进行 检测,测得回收率为 80.2% ~ 99.4%,批内变异系数 为 2.47% ~ 9.47%. 批间变异系数为 6.62% ~ 8.01%,符合 SN/T0001—1995《出口商品中农药、兽 药残留量及生物毒素检验方法标准编写的基本规定》. 结果见表 1.

表 1	回收率及相对标准偏差
-----	------------

	w(DON)/ (μg·kg <sup>-1</sup> )	批内						批间	
组织		回收率(n=5)/%		CV/%			回收率	CV/	
		1	2	3	1	2	3	(n = 15)/%	%
肌肉	50	$87.98 \pm 6.11$	89. $18 \pm 7.43$	$90.62 \pm 7.82$	6.94	8.33	8.63	$89.26 \pm 6.72$	7.53
	100	$89.82 \pm 7.32$	$89.74 \pm 7.52$	$90.04 \pm 7.23$	8.15	8.39	8.03	$89.87 \pm 6.81$	7.58
	500	$88.66 \pm 7.55$	$88.76 \pm 7.14$	89. $10 \pm 7.12$	8.51	8.05	7.99	$88.84 \pm 6.74$	7.59
脂肪	50	$88.30 \pm 6.85$	$88.34 \pm 8.02$	$88.12 \pm 6.88$	7.76	9.08	7.80	$88.25 \pm 6.73$	7.62
	100	$89.82 \pm 8.51$	$88.96 \pm 7.58$	$91.72 \pm 6.60$	9.47	8.51	7.19	90. 17 $\pm$ 7. 14	7.92
	500	$88.96 \pm 7.45$	$88.96 \pm 6.97$	$88.56 \pm 6.59$	8.38	7.83	7.44	$88.82 \pm 6.50$	7.32
肝脏	50	$85.80 \pm 4.31$	$89.52 \pm 8.05$	90. $18 \pm 7.57$	5.03	9.00	8.39	$88.50 \pm 6.65$	7.51
	100	$90.76 \pm 3.93$	$87.74 \pm 6.79$	$89.28 \pm 7.40$	4.33	7.74	8.29	$89.26 \pm 5.91$	6.62
	500	$94.34 \pm 2.33$	$90.48 \pm 8.83$	$91.38 \pm 6.05$	2.47	9.76	6.62	$92.07 \pm 6.10$	6.63
肾脏	50	$87.72 \pm 6.71$	$87.40 \pm 7.75$	$89.62 \pm 7.38$	7.65	8.87	8.24	$88.24 \pm 6.83$	7.74
	100	$89.96 \pm 8.45$	$90.04 \pm 8.11$	$92.36 \pm 6.57$	9.40	9.01	7.10	$90.79 \pm 7.27$	8.01
	500	$89.62 \pm 8.23$	$89.64 \pm 7.57$	$89.32 \pm 7.38$	9.18	8.45	8.26	$89.53 \pm 7.17$	8.00

## 3 讨论与结论

#### 3.1 样品前处理方法的优化

DON 属于单端孢霉烯族化合物,富含羟基,具有亲水性,易溶于水和极性有机溶剂.目前,应用色谱法分析谷物中 DON 时,通常采用反向原理,以体积比为 86:14 的乙腈水为提取溶剂,用霉菌毒素净化专用柱(MFC,如 MycoSep<sup>TM</sup> 225)进行样品的净化<sup>[12]</sup>,使样品提取液中的杂质吸附于 MFC 柱中.GB/T23503—2009 中采用的方法是以聚乙二醇溶液为提取剂,免疫亲和柱进行样品的净化.由于这两类净化柱的承载量有限,只能少量上样,难以达到富集和浓缩的效果,加之价格均较为昂贵,对于批量样品的测定成本较高.本试验采用纯水提取组织样品中的 DON,经  $C_{18}$  固相萃取柱富集和净化后,用 1 mL 体积分数为 30% 的甲醇溶液洗脱后直接检测,操作简单易行,便于批量样品的处理,大大节省了成本,而且避免了有机溶剂对人身体的伤害,绿色环保.

#### 3.2 净化柱及其洗脱试验

试验发现用 100 mg 规格的柱子进行回收率试验时效果低于 200 mg 规格的柱子. 从 200 mg C<sub>18</sub>固相萃取柱的洗脱试验发现,加标样品上样时,前 5 mL的过柱液中未测到有 DON. 淋洗时,第 3 mL的淋洗液能明显测到的 DON,约为总量的 4%. 因此,方法用提取溶液 5 mL上样,水 2 mL淋洗,回收率较高.

#### 3.3 方法检测限及定量限的比较

卢培成等 $^{[13]}$ 采用液质联用检测猪胃组织 DON 含量的试验中,确定的检测限和定量限分别为 2 和 5  $\mu$ g·g $^{-1}$ ,高于本试验确立的 25 和 50  $\mu$ g·kg $^{-1}$ ,对

比采用的质谱条件,卢培成等<sup>[13]</sup>采用负离子扫描模式,电离离子源电离后进行质谱检测,本试验采用正离子扫描模式,电喷雾离子源,多反应检测模式(MRM)检测,可以看出本试验的质谱方法要灵敏一些.梁颖等<sup>[14]</sup>采用液质联用检测小麦 DON 含量的试验中,确立的检测限为 10 ng·g<sup>-1</sup>,比本试验确立的检测限要低一些,对比其试验过程和检测方式,本试验的样品前处理过程中,样品的 DON 浓度稀释了 4倍,而梁颖等<sup>[14]</sup>的样品制备过程中 DON 浓度没有稀释,反而浓缩了 1. 25 倍,这有利于降低其检测限,这是值得本试验学习和借鉴的地方.

#### 3.4 结论

本试验建立了猪可食性组织中脱氧雪腐镰刀菌 烯醇残留量的液相色谱 - 串联质谱检测方法. 以纯 水为提取溶剂,有效减少了试验过程对环境的污染; 样品前处理简单、重现性好,明显降低了批量样品的 检测成本;检测的灵敏度高,能有效应用于猪源食用 组织品质的日常监控,防止由于 DON 残留引起的中 毒事件发生.

#### 参考文献:

- [1] LARSEN J, HUNT J, PERRIN I, et al. Workshop on trichothecenes with a focus on DON: Summary report [J]. Toxicology Lett, 2004, 153(1):1-22.
- [2] ANKLAM E, STROKA J, BOENKE A. Acceptance of analytical methods for implementation of EU legislation with a focus on mycotoxins[J]. Food Control, 2002, 13(3):173-183.
- [3] 李月红. 脱氧雪腐镰刀菌烯醇对机体免疫功能影响的 实验研究[D]. 石家庄:河北医科大学,2003.

- [4] LANGSETH W, RUNDBERGET T. Instrumental methods for determination of nonmacryocyclic trichothecenes in cereals, foodstuffs and cultures [J]. Chromatogr A, 1998, 815(1):103-121.
- [5] MATEO J J, MATEO R, HIONJO M J, et al. Liquid chromatographic determination of toxigenic secondary metabolites produced by Fusarium strains [J]. Chromatogr A, 2002, 955(2):245-256.
- [6] ROSENBERG E, KRSKA R, WISSIACK R, et al. HPLC-APCI-MS as a new tool for the determination of the mycotoxin zearalenone in food and feed [J]. Chromatogr A, 1998, 819 (1/2); 277-288.
- [7] JIMENZE M, MATEO R. Determination of mycotoxins produced by fusarium isolates from banana fruits by capillary gas chromatography and high-performance liquid chromatography [J]. Chromatogr A, 1997, 778 (1/2): 363-372.
- [8] PALLARONI L, HOLST C. Determination of zearalenone from wheat and corn by pressurized liquid extraction and liquid chromatography-electrospray mass spectrometry[J]. Chromatogr A, 2003, 993(1/2): 39-45.
- [9] ZOLLNER P, BERNER D, JODLBAUER J, et al. Deter-

- mination of zearalenone and its metabolites  $\alpha$ -and  $\beta$ -zearalenone in beer samples by high performance liquid chromatography-tandem mass spectrometry [ J ]. Chromatogr B, 2000, 738(2): 233-241.
- [10] 隋凯,李军,卫锋,等. 谷物中脱氧雪腐镰刀菌烯醇的高效液相色谱检测及质谱确证[J]. 分析化学研究简报,2005,33(11):1643-1646.
- [11] 陈杖榴,杨桂香,曾振灵,等. 兽药残留的毒性与生态毒理研究进展[J]. 华南农业大学学报,2001,22(1):88-91.
- [12] BERTHILLER F, SCHUHMACHER R, BUTTINGER G, et al. Rapid simultaneous determination of major type A-and B-trichothecenes as well as zearalenone in maize by high performance liquid chromatography-tandem mass spectrometry [J]. Chromatogr A, 2005, 1062(2):209-216.
- [13] 卢培成,邓衔柏,邹新华,等. 猪胃组织中脱氧雪腐镰刀 菌烯醇的液质联用检测[J]. 广东农业科学,2011,114 (9):114-116.
- [14] 梁颖, 刘邻渭,张春晖. 液质联用同时检测小麦中三种镰刀菌毒素[J]. 中国粮油学报,2006,21(6):160-162.

#### 【责任编辑 柴 焰,霍 欢

#### (上接第100页)

- [3] NAUGLE A L, BARLOW K E, EBLEN D R, et al. U. S. Food Safety and Inspection Service testing for *Salmonella* in selected raw meat and poultry products in the United States, 1998 through 2003: Analysis of set results [J]. J Food Prot, 2006, 69(11):2607-2614.
- [4] MATARAGAS M, SKANDAMIS P N, DROSINOS E H. Risk profiles of pork and poultry meat and risk ratings of various pathogen/product combinations [J]. Int J Food Microbiol, 2008, 126(1/2):1-12.
- [5] OzFoodNet Working Group. Monitoring the incidence and causes of diseases potentially transmitted by food in Australia: Annual report of the OzFoodNet Network, 2008
  [J]. Commun Dis Intell, 2009, 33(4);389-413.
- [6] Centers for Disease Control and Prevention. Surveillance for foodborne disease outbreaks—United States, 2006[J]. Morb Mortal Weekly Rep, 2009, 58(22):609-615.
- [7] OLIVER J D. The viable but nonculturable state in bacteria [J]. J Microbiol, 2005, 43(S):93-100.
- [8] SAROJ S, SHASHIDHAR R, BANDEKAR J. Gamma radiation used as hygienization technique for foods does not induce viable but non-culturable state (VBNC) in Salmonella enterica subsp. enterica serovar Typhimurium [J]. Curr Microbiol, 2009, 59(4):420-424.
- [9] XU H, LEE H Y, AHN J. Cross-protective effect of acidadapted Salmonella enterica on resistance to lethal acid and cold stress conditions [J]. Lett Appl Microbiol, 2008, 47(4):290-297.

- [10] OLIVER J D. Recent findings on the viable but nonculturable state in pathogenic bacteria [J]. FEMS Microbiol Rev, 2009,34(4):415-425.
- [11] SUN Fengrong, CHEN Jixiang, ZHONG Linhong, et al. Characterization and virulence retention of viable but non-culturable *Vibrio harveyi* [J]. FEMS Microbiol Ecol, 2008,64(1):37-44.
- [12] 李影, 段锐, 孙晓媛. 鸡白痢沙门氏菌 CVCC578 标准 株 VBNC 研究模型的建立及鉴定[J]. 中国预防兽医学报, 2010, 32(3):179-182.
- [13] 李影,段锐,孙晓媛. 鸡白痢沙门氏菌活的非可培养状态相关基因 ybbB 和 rh1B 的鉴定[J]. 中国预防兽医学报,2011,33(9);689-693.
- [14] COUTARD F, LOZACH S, POMMEPUY M, et al. Real-time reverse transcription-PCR for but nonculturable *Vibrio parahaemolyticus* after recovery of culturability [J]. Appl-Environ Microbiol, 2007, 73(16);5183-5189.
- [15] ABE A, OHASHIA E, RENB H, et al. Isolation and characterizzation of a cold-induced nonculturable suppression mutant of *Vibrio vulnificus*[J]. Microbiol Res, 2007, 162(2):130-138.
- [16] LAI Chenjiang, CHEN Shuying, LIN Hong, et al. Change of protein profiles in the induction of the viable but nonculturable state of *Vibrio parahaemolyticus* [J]. Int J Food Microbiol, 2009, 135(2):118-124.

【责任编辑 柴 焰,霍 欢】